

УДК 577.323.5

ПОДВІЖНОСТЬ АЗОТИСТЫХ ОСНОВАНИЙ ПРИ ГІДРАТАЦІЇ ДВУНІТЕВЫХ ПОЛІНУКЛЕОТИДОВ В ПЛЕНКАХ

М.А. Семенов, Е.П. Борискина, В.Я. Малеев

Інститут радіофізики і електроніки НАН України, Харків, 61085, ул. Ак Прокури, 12.

Поступила в редакцію 15 жовтня 2007 р.

На основании теории молекулярных экситонов с использованием данных рентгеноструктурного анализа и ИК спектроскопии двунитевых полинуклеотидов поли(рА)-поли(рУ), поли(рГ)-поли(рЦ) и поли(дА)-поли(дТ) во влажных пленках проведен расчет резонансных взаимодействий валентных карбонильных C=O и внутрікольцевых C=N колебаний азотистых оснований. На базе сделанных расчетов и экспериментальных данных о частотных сдвигах основных полос поглощения исследуемых полинуклеотидов при переходе их из дегидратированного в полностью гидратированное состояние, исследована подвижность азотистых оснований в процессе структурных перестроек полинуклеотидов, вызванных гидратацией. Показано, что в сухом состоянии двунитевые полинуклеотиды находятся в форме, незначительно отличающейся от двуспирального состояния.

КЛЮЧЕВІ СЛОВА: поли(рА)-поли(рУ), поли(рГ)-поли(рЦ), поли(дА)-поли(дТ), гидратация, резонансные взаимодействия, спиральный угол, подвижность, ИК спектроскопия.

Ранее было показано, что высокочастотные сдвиги и ИК-гипохромизм полос поглощения вне внутрікольцевых колебаний азотистых оснований, наблюдаемые в ИК спектрах одно- и двунитевых полинуклеотидов и ДНК [1-7] при переходе их в процессе гидратации в спиральные конформации А и типа, могут быть объяснены в рамках теории молекулярных экситонов [8,9]. Рассчитанные в дипольном приближении частоты карбонильных и некоторых внутрікольцевых колебаний азотистых оснований вполне удовлетворительно согласуются с экспериментально наблюдаемыми частотами по поглощению в ИК спектрах и спектрах комбинационного рассеяния света [6]. Динамическое взаимодействие колебательных моментов перехода рассматривается при этом в элементарных ячейках полинуклеотидов, параметры которых найдены с использованием данных рентгеноструктурного анализа (PCA).

Расчет показал [1,2], что «насыщение» вызванное динамическим резонансным взаимодействием частотных сдвигов полос поглощения карбонильных колебаний в двухспиральных молекулах поли(рА)-поли(рУ), поли(рГ)-поли(рЦ) и поли(дА)-поли(дТ) на 90-95%, наступает при учете взаимодействия ближайших соседей полинуклеотидной матрицы [10].

На рис. 1 а-д представлены зависимости частот карбонильных (C=O) и внутрікольцевых (C=N) колебаний от числа сорбированных молекул воды (n , моль H₂O/моль нуклеотидов) на пленках полинуклеотидных матриц, полученные нами ранее для полинуклеотидов поли(рА)-поли(рУ), поли(рГ)-поли(рЦ) и поли(дА)-поли(дТ) [4,7,11].

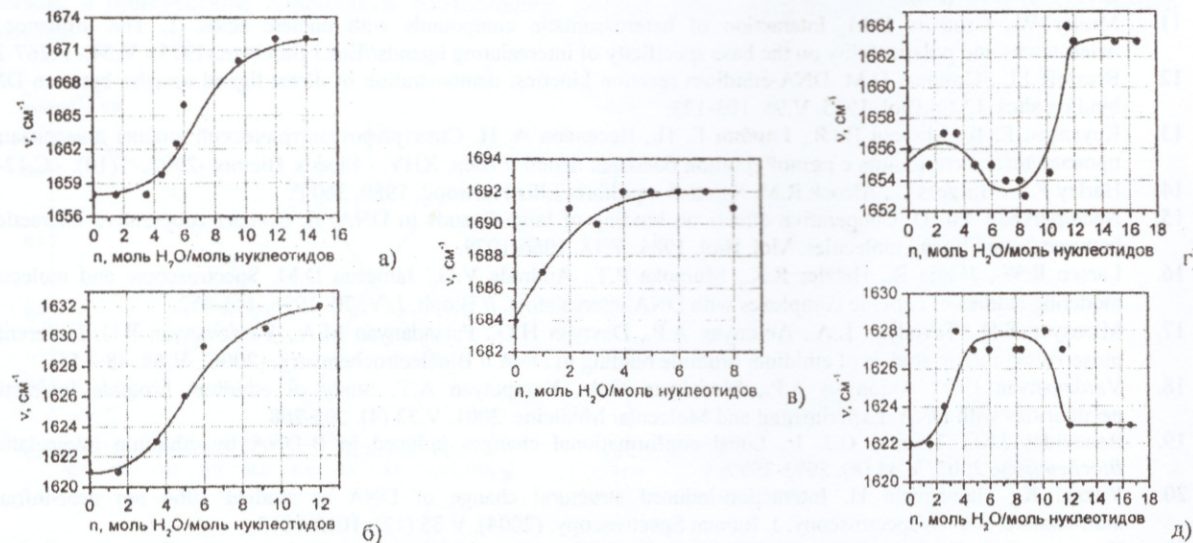


Рис. 1. Зависимость частоты полос поглощения азотистых оснований (ν , см^{-1}) от количества сорбированных молекул воды (n , моль $\text{H}_2\text{O}/\text{моль нуклеотидов}$) для колебательных групп $\text{C}=\text{O}$ (а) и $\text{N}=\text{C}_6$ (б) поли(рА)-поли(рУ), группы $\text{C}_6=\text{O}$ (в) поли(рГ)-поли(рЦ) и группы $\text{C}=\text{O}$ (г) и $\text{N}=\text{C}_6$ (д) поли(дА)-поли(дТ).

Видно, что выход на плато частот полос колебаний групп $\text{C}=\text{O}$ и $\text{N}=\text{C}_6$ полинуклеотидов поли(рА)-поли(рУ) наступает при сорбции $n=12$ молекул воды на нуклеотид (Рис. 1 а, б). Согласно РС.

Подвижность азотистых оснований при гидратации ...

таких условиях этот полинуклеотид находится в двуспиральном состоянии [12]. Насыщение высокочастотного сдвига полосы поглощения карбонильного колебания C=O полинуклеотида поли(rГ)-поли(rЦ) (Рис.1 в) наблюдается при сорбции $n=6$ молекул воды на нуклеотид. При такой степени гидратации, согласно РСА, полинуклеотид поли(rГ)-поли(rЦ) также находится в двуспиральной конформации [13]. Для карбонильного колебания C4=O тимина и колебания группы N1=C6 аденина полинуклеотида поли(dА)-поли(dТ) характерна более сложная форма зависимости $\nu(n)$ [11]. По-видимому, это связано с тем, что, согласно РСА, в интервале $0 < n \leq 6$ (Рис. 1 г) этот полинуклеотид находится в двуспиральном β -B'-состоянии, а в интервале $10 < n \leq 12$ – в α -B'-конформации [14-17].

Проведенные ранее расчеты резонансных сдвигов частот карбонильных C=O и внутрикольцевых C=N колебаний подтвердили вывод о том, что при соответствующих степенях гидратации данные полинуклеотиды находятся в двуспиральном состоянии [18, 1-4]. Вместе с тем, наблюдаемые резкие высокочастотные сдвиги в узких интервалах сорбции воды n [4,7,11] и насыщение динамического резонансного взаимодействия при учете только ближайших соседей свидетельствуют о том, что в процессе сорбции воды на пленках полинуклеотидов, по-видимому, происходит изменение подвижности азотистых оснований. Ранее такое изменение подвижности пар оснований с увеличением содержания воды на ДНК в пленках обнаружено Рупрехтом с соавт. [19].

Целью данной работы является теоретическое исследование подвижности азотистых оснований с учетом экспериментально найденных зависимостей частот полос поглощения внутри- и внекольцевых колебаний азотистых оснований от n для более простых нукleinовых кислот – полинуклеотидов поли(рА)-поли(рУ), поли(rГ)-поли(rЦ) и поли(dА)-поли(dТ) – в процессе их структурных перестроек, вызванных гидратацией.

МЕТОДЫ РАСЧЕТА

Для исследования подвижности азотистых оснований в процессе гидратации полинуклеотидов рассмотрим диполь-дипольное приближение, которое обычно используется при расчете динамического взаимодействия колебательных моментов перехода в биополимерах [1, 18, 20, 21]. При этом резонансный сдвиг выражается формулой

$$\Delta\nu_{res} = \nu_f - \nu_0 = \frac{1}{h} \sum_{n\alpha} C_\alpha^f C_\beta^f V_{n\alpha, m\beta}, \quad (1)$$

где h – постоянная Планка; C_α^f и C_β^f – коэффициенты симметрии для колебаний типа симметрии f ; ν_0 – невозмущенная частота; m , n – числа, которые нумеруют колебательные группы в элементарной ячейке; $V_{n\alpha, m\beta}$ – матричный элемент оператора диполь-дипольного взаимодействия моментов перехода, локализованных в двух одинаковых колебательных группах. В упрощенном виде энергия взаимодействия между двумя ориентированными дипольными моментами перехода (рис. 2) может быть записана так [22]:

$$V = \frac{1}{\epsilon} \cdot \frac{\left| \frac{\partial \mu_1}{\partial S_1} \right| \cdot \left| \frac{\partial \mu_2}{\partial S_2} \right|}{R^3} \cdot (\cos \alpha - 3 \cos \beta \cdot \cos \gamma) \cdot S_1 \cdot S_2, \quad (2)$$

где ϵ – диэлектрическая постоянная, $\frac{\partial \mu_1}{\partial S_1}$, D/Å – дипольный момент перехода, S_i – валентная координата, R , Å – расстояние между центрами взаимодействующих диполей.

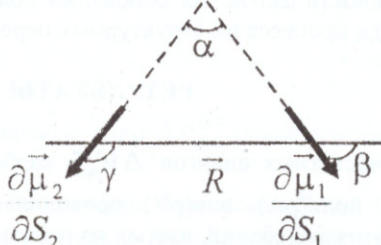


Рис. 2. Схема взаимодействия двух дипольных моментов перехода.

В свернутом виде резонансный частотный сдвиг в случае двух взаимодействующих колебательных групп согласно формулам 1-2 записывается так:

$$\Delta \nu_{\text{рез}} = \frac{M}{h \cdot \varepsilon} \cdot \frac{\cos \alpha - 3 \cos \beta \cdot \cos \gamma}{R^3} = \frac{M}{h \cdot \varepsilon} \cdot G, \quad (3)$$

где первый член является постоянной величиной и содержит произведение дипольных моментов перехода

$M = \left| \frac{\partial \mu_1}{\partial S_1} \right| \cdot \left| \frac{\partial \mu_2}{\partial S_2} \right|$, которые определяются из абсолютных интенсивностей полос поглощения в

инфракрасных спектрах по формуле $|\langle \vec{\mu} \rangle|^2 = \frac{3Ach}{8\pi^3 \nu}$, где A – абсолютная интенсивность полосы

поглощения, c – скорость света в вакууме, ν – частота максимума полосы, h – постоянная Планка. Переменная G – геометрический фактор, величина которого может быть определена из рентгеноструктурных данных. Из формулы (3) следует, что подвижность азотистых оснований при увлажнении пленок полинуклеотидов определяется геометрическим фактором G , точнее, углами α , β , γ и расстоянием R между взаимодействующими дипольными моментами перехода.

В рамках модели слабо связанных осцилляторов частоты колебаний групп атомов полинуклеотидных матриц и белковых структур с учетом водородной связи и резонансных взаимодействий могут быть получены так [23]:

$$\nu_{\text{расч}} = \nu_0 - \Delta \nu_{H-\text{св}} \pm \Delta \nu_{\text{рез}}^{\text{сум}}, \quad (4)$$

где ν_0 – невозмущенная частота колебательной группы атомов, которая экспериментально может быть определена в неполярных жидкостях, $\Delta \nu_{H-\text{св}}$ – сдвиг частоты валентного колебания за счет водородной связи, $\Delta \nu_{\text{рез}}^{\text{сум}}$ – суммарный резонансный сдвиг от взаимодействия с соседними группами атомов. Величины ν_0 и $\Delta \nu_{H-\text{св}}$ известны из литературы

В случае полностью гидратированного состояния значение $\Delta \nu_{\text{рез}}^{\text{сум}}$ может быть получено теоретически по формуле (3), при этом значения компонентов R , α , β и γ геометрического фактора G могут быть вычислены на основании данных РСА.

В случае частично или полностью дегидратированных полинуклеотидов, значение $\Delta \nu_{\text{рез}}^{\text{сум}}$ напрямую рассчитать теоретически невозможно, так как для частично или полностью дегидратированных полинуклеотидов отсутствуют данные РСА. Тем не менее, нами разработан алгоритм численного расчета $\Delta \nu_{\text{рез}}^{\text{сум}}$ для всех значений n . При этом за основу расчета берется геометрическое расположение атомов в полностью гидратированных полинуклеотидах, определенное с использованием РСА, затем координата конца одного из взаимодействующих диполей изменяется таким образом, что угол α пробегает значения от 0 до 90° . При этом плоскость, в которой вращается диполь, параллельна взаимодействующему с ним диполю. Для каждого значения α рассчитываются величины R , β , γ и вычисляется значение $\Delta \nu_{\text{рез}}^{\text{сум}}$. В расчете учитывается взаимодействие каждой колеблющейся группы с одной соседней группой, находящейся вверху и внизу по цепи. Вычисленные для каждого α значения $\nu_{\text{расч}}$ сравниваются с экспериментальными $\nu_{\text{эксп}}$, которые получены нами для всего интервала изменения уровня гидратации полинуклеотидов. При этом, в случае согласия экспериментальных и рассчитанных значений частот оказалось возможным для каждого n определить значения углов α , β и γ и расстояния R . Таким образом, предлагаемый подход позволяет определить взаимное геометрическое расположение пар азотистых оснований на всех этапах гидратации и оценить подвижность азотистых оснований полинуклеотидов поли(рА)-поли(рУ), поли(рГ)-поли(рЦ) и поли(дА)-поли(дТ) в процессе их структурных перестроек, вызванных гидратацией.

РЕЗУЛЬТАТЫ

1. Поли(рА)- поли(рУ)

Расчет резонансных частотных сдвигов $\Delta \nu_{\text{рез}}^{\text{сум}}$ карбонильных C4=O и внутрикольцевых N1=C6 колебаний полинуклеотида поли(рА)-поли(рУ) проводился с использованием уточненных значений абсолютных интенсивностей этих колебаний, взятых из работы [24]. В случае полностью гидратированного состояния, в котором данный полинуклеотид находится в А конформации, геометрические параметры этих связей брались из данных РСА [12]. Моменты перехода направляли вдоль связей, значение R соответствовало расстоянию между средними точками этих связей, угол α между связями отвечал углу поворота между основаниями в А-У парах. Наилучшее согласие рассчитанных $\nu_{\text{расч}}$ с экспериментальными получено при значениях невозмущенных частот $\nu_O^{C4=O} = 1658 \text{ см}^{-1}$ и $\nu_O^{C4=N1} = 1618 \text{ см}^{-1}$ [18, 25]. При этом

Подвижность азотистых оснований при гидратации ...

использовалось локальное значение диэлектрической постоянной $\epsilon=2$, а частотный сдвиг валентного карбонильного колебания C4=O за счет установления межпарной A-U водородной связи, согласно работе [12], был взят равным $\Delta\nu_{H-ca}=18 \text{ см}^{-1}$, значение абсолютной интенсивности $A=10,4 \text{ л}\cdot\text{моль}^{-1}\cdot\text{см}^{-1}$ [24]. В табл. 1 представлены рассчитанные для групп C4=O и N1=C6 значения частот колебаний, резонансных частотных сдвигов, а также частоты, экспериментально наблюдаемые в инфракрасных спектрах полностью гидратированного поли(pA)-поли(pU).

Табл. 1. Сопоставление рассчитанных частот карбонильных колебаний C4=O и внутрикольцевых колебаний N1=C6 с экспериментально наблюдаемыми в ИК спектрах полностью гидратированного поли(pA)-поли(pU).

Колебательная группа атомов	Невозмущенная частота $\nu_0, \text{ см}^{-1}$	Резонансный сдвиг $\Delta\nu_{rez}^{\text{сум}}, \text{ см}^{-1}$	Рассчитанная частота колебания, $\nu_{расч}, \text{ см}^{-1}$	Сдвиг за счет H-связи $\Delta\nu_{H-ca}, \text{ см}^{-1}$	Экспериментальная частота колебания, $\nu_{эксп}, \text{ см}^{-1}$
C4=O	1658	31±1	1671±1	-18	1672±1
N1=C6	1618	14±1	1632±1	0	1632±1

Хорошее согласие рассчитанных частот $\nu_{расч}$ с экспериментально наблюдаемыми $\nu_{эксп}$ свидетельствует о правильности выбранных значений параметров используемой модели.

Как видно из рис. 1а, в процессе сорбции молекул воды на пленке полинуклеотида частоты полос поглощения C4=O и N1=C6 возрастают за счет вклада резонансных взаимодействий. С использованием разработанного численного алгоритма мы рассчитали значения $\Delta\nu_{rez}$ для всех величин n , при этом были получены значения параметров R , α , β , γ , характерные для каждого n . Дополнительно проведенный анализ показал, что определяющее значение для величины геометрического фактора G имеет значение угла α . Получено, что при переходе полинуклеотида поли(pA)-поли(pU) из дегидратированного в полностью гидратированное состояние угол α меняется от 47° до 32°, при этом величина $\Delta\nu_{rez}^{\text{сум}}$ меняется от 18 см⁻¹ до 31 см⁻¹. На рис. 3 а-г показаны полученные зависимости от α величин $\Delta\nu_{rez}^{\text{сум}}$, R , β , γ . Видно, что в интервале значений угла 32°≤α≤47° значение R изменяется незначительно, приблизительно на 0,07 Å, что составляет около 2% от межплоскостного расстояния, определенного РСА, а величины углов β и γ изменяются на 2-5° (см. штрихованные области).

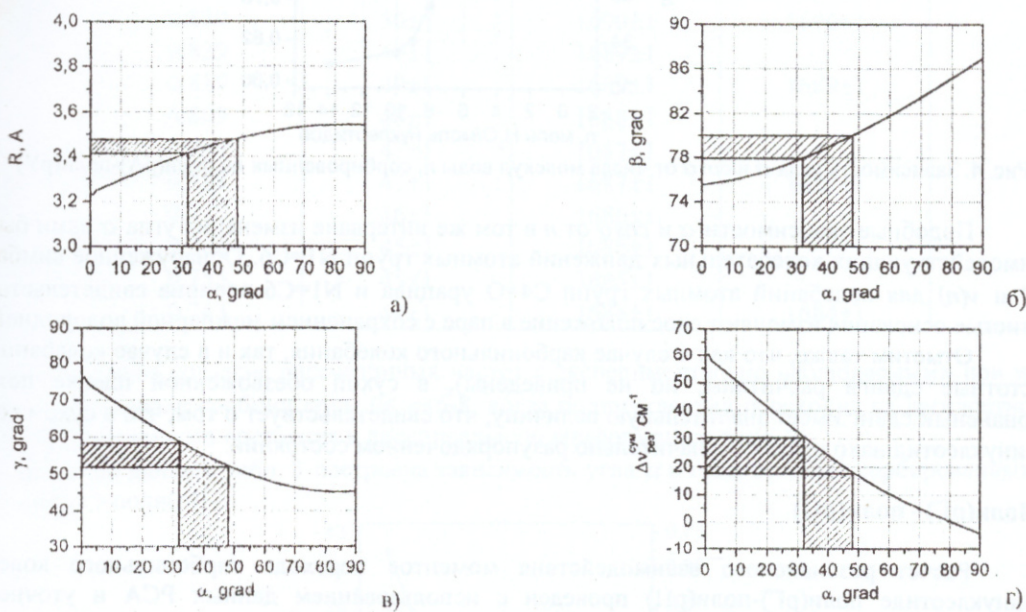


Рис. 3. Зависимости от угла α значения величин R , β , γ и $\Delta\nu_{rez}^{\text{сум}}$ полинуклеотида поли(pA)-поли(pU).

В табл. 2 приведены рассчитанные значения частот колебаний C4=O и резонансных сдвигов при изменении угла α (шаг 1°), а также экспериментально наблюдаемые частоты при различных n (0≤n≤14).

Видно вполне удовлетворительное согласие величин рассчитанных и экспериментально наблюдаемых частот в интервале сорбции воды 0≤n≤12. При этом происходит изменение угла α на 16° (от 48° до 32°), т.е. разупорядочение A-U пар. На рис. 4 по данным табл. 2 построена зависимость угла α и $\cos\alpha$ от числа молекул воды, сорбированных на полинуклеотиде n . Эту зависимость можно рассматривать как показатель изменения подвижности урациловых оснований относительно друг друга в процессе сорбции воды на полинуклеотиде. Видно, что с ростом n начиная с сухого состояния полинуклеотида угол

α уменьшается от 48° при $n=0$ до 32° при $n=12$, когда поли(pA)-поли(pU) переходит в двуспиральное состояние.

Табл. 2. Рассчитанные значения частот и резонансных частотных сдвигов колебания C4=O поли(pA)-поли(pU) при изменении угла α и экспериментальные частоты для различных n .

α , град	$\cos \alpha$	$\Delta \nu_{\text{рез}}^{\text{сум}}$, см^{-1}	$\nu_{\text{расч}}$, см^{-1}	$\nu_{\text{эксп}}$, см^{-1}	n
32	0.848	31±1	1671±1	1671±1	14
33	0.839	30±1	1670±1	1670±1	10
34	0.829	29±1	1669±1	1669±1	9
35	0.819	28±1	1668±1		
36	0.809	27±1	1667±1		
37	0.799	26±1	1667±1	1667±1	8
38	0.788	26±1	1666±1		
39	0.777	25±1	1665±1		
40	0.766	24±1	1664±1	1664±1	7
41	0.755	23±1	1663±1		
42	0.743	23±1	1663±1	1663±1	6
43	0.731	22±1	1662±1		
44	0.719	21±1	1661±1	1661±1	5
45	0.707	20±1	1660±1		
46	0.695	20±1	1660±1	1660±1	4
47	0.682	19±1	1659±1	1659±1	3
48	0.669	18±1	1658±1	1658±1	0

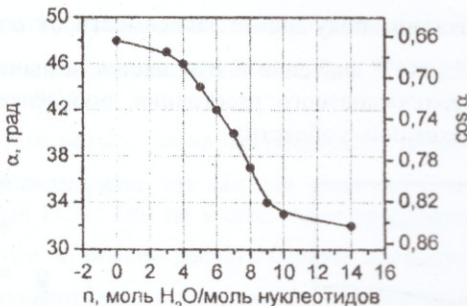


Рис. 4. Зависимость угла α и $\cos \alpha$ от числа молекул воды n , сорбированных на поли(pA)-поли(pU)

Подобные зависимости α и $\cos \alpha$ от n в том же интервале изменения угла α нами были найдены для взаимодействующих колебательных движений атомных групп N1=C6. Обнаруженное симбатное изменение $\alpha(n)$ и $\nu(n)$ для колебаний атомных групп C4=O урацила и N1=C6 аденина свидетельствуют о том, что азотистые основания изменяют свое положение в паре с сохранением межпарной водородной связи.

Отметим также, что как в случае карбонильного колебания, так и в случае колебания атомов N1=C6 (частотные сдвиги расчитаны, но не приведены), в сухой обезвоженной пленке поли(pA)-поли(pU) резонансный сдвиг имеет значительную величину, что свидетельствует о том, что в сухом состоянии пленки полинуклеотид находится в незначительно разупорядоченном состоянии.

2. Поли(pГ)-поли(pЦ)

Расчет резонансного взаимодействия моментов перехода карбонильного колебания C6=O в полинуклеотиде поли(pГ)-поли(pЦ) проведен с использованием данных РСА и уточненного значения абсолютной интенсивности полосы поглощения этого колебательного движения [24] при различных углах α . На рис. 5а-г представлены зависимости от α значений R , β , γ и $\Delta \nu_{\text{рез}}^{\text{сум}}$. Получено, что переход полинуклеотида из дегидратированного состояния в двуспиральное гидратированное сопровождается изменением угла α от 42° до 32° , характерного для А формы. При этом наблюдаются незначительные изменения значений параметров R , β , и γ . Большая величина резонансного сдвига в дегидратированном полинуклеотиде $\Delta \nu_{\text{рез}}^{\text{сум}}=44$ см^{-1} свидетельствует о том, что в этих условиях полинуклеотид поли(pГ)-поли(pЦ) в пленке находится в незначительно разупорядоченном состоянии.

Подвижность азотистых оснований при гидратации ...

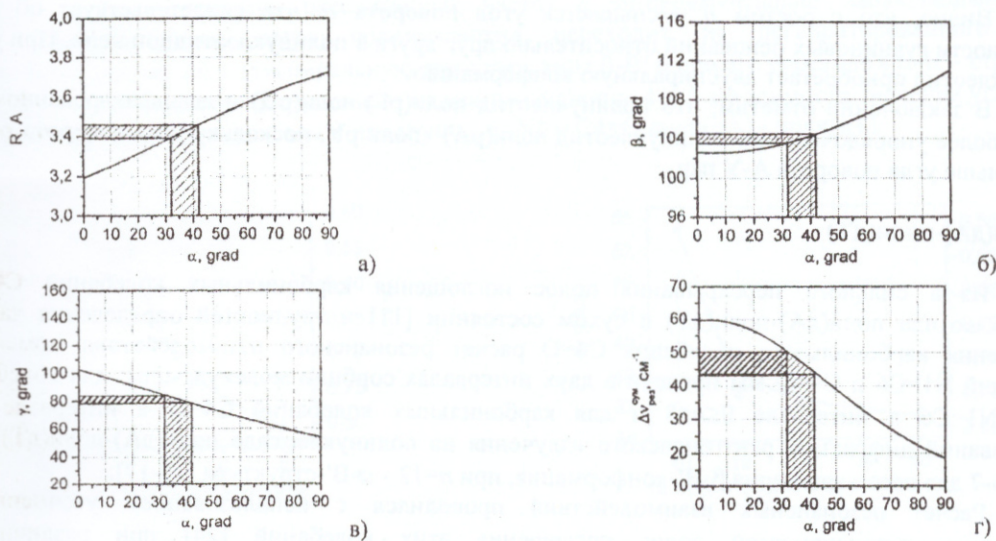


Рис. 5. Зависимости от угла α значения величин R , β , γ и $\Delta\nu_{pez}$ полинуклеотида поли(рГ)-поли(рЦ)

В табл. 3 приведены рассчитанные значения частот колебания группы С6=О и резонансные частотные сдвиги $\Delta\nu_{pez}^{\text{сум}}$ при изменении угла α (шаг 1°) и экспериментально наблюдаемые частоты при различных значениях степени гидратации n . В расчетах использовались значения $\varepsilon=2$, $\Delta\nu_{H-ca}=30$ см⁻¹ и $\nu_0=1670$ см⁻¹ [18], абсолютной интенсивности $A=9,4$ л·моль⁻¹·см⁻¹ или 0,46 D [24].

Табл. 3. Рассчитанные значения частот и резонансных частотных сдвигов колебания С6=О поли(рГ)-поли(рЦ) при изменении угла α и экспериментальные частоты для различных n

α , град	$\cos \alpha$	$\Delta\nu_{pez}^{\text{сум}}, \text{см}^{-1}$	$\nu_{\text{расч}}, \text{см}^{-1}$	$\nu_{\text{эксп}}, \text{см}^{-1}$	n
32	0.848	51±1	1691±1	1692±1	5-8
33	0.839	50±1	1690±1	1690±1	3
34	0.829	49±1	1689±1		
35	0.819	49±1	1689±1	1689±1	2
36	0.809	48±1	1688±1		
37	0.799	47±1	1687±1		
38	0.788	47±1	1687±1	1687±1	1
39	0.777	46±1	1686±1		
40	0.766	45±1	1685±1		
41	0.755	45±1	1685±1		
42	0.743	44±1	1684±1	1684±1	0

Видно хорошее согласие рассчитанных частот с экспериментально наблюдаемыми при изменении угла α на 10° в интервале сорбции воды $0 \leq n \leq 6-8$, когда полинуклеотид переходит из дегидратированного частично разупорядоченного состояния в двусpirальную конформацию типа А.

На рис. 6 по данным табл. 3 построена зависимость угла α и $\cos \alpha$ от числа сорбированных молекул воды n на поли(рГ)-поли(рЦ).

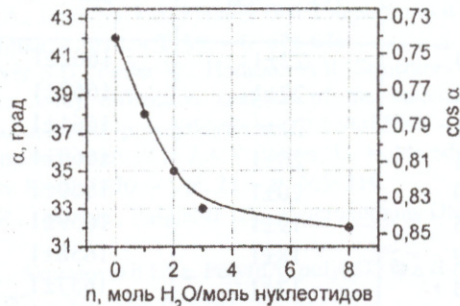


Рис. 6. Зависимость угла поворота α и $\cos \alpha$ гуаниновых оснований в пленке поли(рГ)-поли(рЦ) от числа сорбированных молекул воды n

Видно, что с ростом n уменьшается угол поворота α , что свидетельствует об изменении подвижности гуаниновых оснований относительно друг друга в полинуклеотидной цепи. При угле $\alpha=32^\circ$ полинуклеотид приобретает двуспиральную конформацию.

В заключении отметим, что полинуклеотид поли(рГ)-поли(рЦ) в дегидратированном состоянии в пленке более упорядочен, чем полинуклеотид поли(рА)-поли(рУ), поскольку угол поворота α Г-Ц пар в 1,5 раза меньше угла поворота А-У пар.

3. Поли(дА)-поли(дТ)

Из-за сильного перекрывания полос поглощения карбонильных колебаний C4=O и C2=O полинуклеотида поли(дА)-поли(дТ) в сухом состоянии [11] и трудностей определения частоты полосы поглощения карбонильного колебания C4=O расчет резонансного взаимодействия моментов перехода колебаний N1=C6 и C4=O мы провели в двух интервалах сорбции молекул воды: для колебания атомных групп N1=C6 в интервале $0 \leq n \leq 8$ и для карбонильных колебаний C4=O в интервале $10 \leq n \leq 18$. Из исследований дифракции рентгеновского излучения на полинуклеотиде поли(дА)-поли(дТ) известно, что при $n=6-7$ для него характерна β -B'-конформация, при $n=12$ - α -B'-структура [13-17].

Расчет резонансных взаимодействий проводился с использованием уточненных значений абсолютных интенсивностей полос поглощения этих колебаний [24] при различных углах α . Диэлектрическая постоянная взята равной $\epsilon=2$, $\nu_0^{C4=O}=1658 \text{ см}^{-1}$ и $A=9,2 \text{ л}\cdot\text{моль}^{-1}\cdot\text{см}^{-1}$ и $\nu_0^{N1=C6}=1618 \text{ см}^{-1}$ [25] и $A=3,0 \text{ л}\cdot\text{моль}^{-1}\cdot\text{см}^{-1}$. Проведенный анализ зависимостей от α значений R , β , γ и $\Delta\nu_{\text{рез}}^{\text{сум}}$, как и в случае с полинуклеотидами поли(рА)-поли(рУ) и поли(рГ)-поли(рЦ), показал незначительные изменения величин параметров R , β , γ геометрического фактора G в интервале изменения $36^\circ \leq \alpha \leq 54^\circ$ для колебаний C4=O. Найденный значительный резонансный сдвиг $\Delta\nu_{\text{рез}}^{N1=C6}=9 \text{ см}^{-1}$ в сухом дегидратированном состоянии, как и в случае с полинуклеотидами типа А, свидетельствует о том, что полинуклеотид поли(дА)-поли(дТ) в сухих пленках находится в незначительно разупорядоченном состоянии.

В таблицах 4 и 5 приведены рассчитанные значения частот колебания групп N1=C6 и C4=O и резонансные частотные сдвиги $\Delta\nu_{\text{рез}}^{\text{сум}}$ при изменении угла α (шаг 5° и 2° соответственно) и экспериментально наблюдаемые частоты при различных значениях степени гидратации n .

Табл. 4. Рассчитанные значения частот и резонансных частотных сдвигов колебания N1=C6 поли(дА)-поли(дТ) при изменении угла α и экспериментальные частоты для различных n

α , град	$\cos \alpha$	$\Delta\nu_{\text{рез}}^{\text{сум}}, \text{см}^{-1}$	$\nu_{\text{расч}}, \text{см}^{-1}$	$\nu_{\text{эксп}}, \text{см}^{-1}$	n
36	0.809	9±1	1627±1	1628±1	8
41	0.755	9±1	1627±1	1627±1	5
46	0.695	8±1	1626±1	1626±1	4
51	0.629	7±1	1625±1		
56	0.559	6±1	1624±1	1624±1	3
59	0.515	5±1	1623±1	1622±1	0

Табл. 5. Рассчитанные значения частот и резонансных частотных сдвигов колебания C4=O поли(дА)-поли(дТ) при изменении угла α и экспериментальные частоты для различных n

α , град	$\cos \alpha$	$\Delta\nu_{\text{рез}}^{\text{сум}}, \text{см}^{-1}$	$\nu_{\text{расч}}, \text{см}^{-1}$	$\nu_{\text{эксп}}, \text{см}^{-1}$	n
36	0.809	22±1	1662±1	1663±1	18
38	0.788	22±1	1662±1	1662±1	12
40	0.766	21±1	1661±1		
42	0.743	20±1	1660±1		
44	0.719	20±1	1660±1		
46	0.695	19±1	1659±1	1659±1	11
48	0.669	18±1	1658±1		
50	0.643	17±1	1657±1		
52	0.616	16±1	1656±1		
54	0.588	16±1	1656±1	1656±1	10

Подвижность азотистых оснований при гидратации ...

Видно хорошее согласие рассчитанных частот с экспериментально наблюдаемыми в двух интервалах сорбции воды, когда полинуклеотид переходит из дегидратированного частично неупорядоченного состояния в двусpirальную структуру типа β -B' и при его переходе в α -B' - структуру.

На рис. 7 представлены построенные по данным таблицы 4 и 5 зависимости значения угла α и $\cos\alpha$ от числа сорбированных молекул воды n для групп C6=N1 и C4=O поли(дА)-поли(дТ).

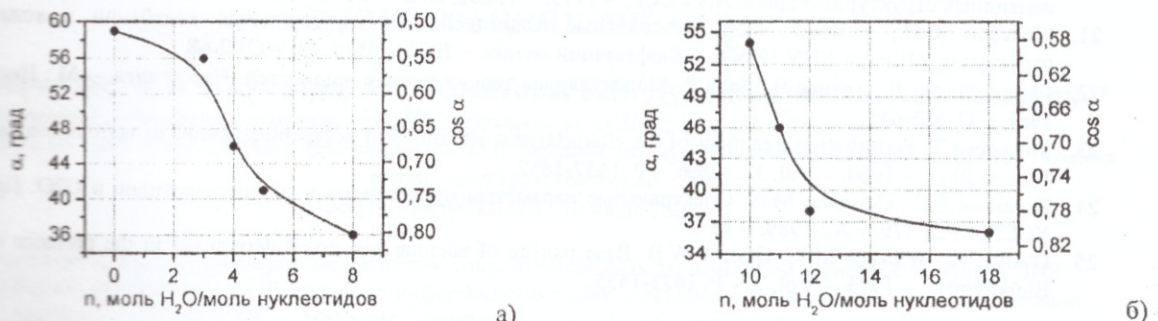


Рис. 7. Зависимость угла поворота α и $\cos\alpha$ для групп C6=N1 (а) и C4=O (б) в пленке поли(дА)-поли(дТ) от числа сорбированных молекул воды n

Таким образом, проведенные расчеты резонансных взаимодействий, согласующиеся с полученными экспериментальными результатами ИК-спектроскопических исследований двунитевых полинуклеотидов А- и В-типов структур позволяют сделать два важных вывода: во-первых, в сухом дегидратированном состоянии двунитевые полинуклеотиды находятся в форме, незначительно отличающейся от упорядоченной, а не в клубковой форме, как это полагалось ранее. Вот почему наблюдается высокая степень обратимости структурных изменений при сорбции и десорбции молекул воды на полинуклеотидах. Во-вторых, увлажнение дегидратированных полинуклеотидов сопровождается изменением подвижности структуры азотистых оснований, т.е. размягчением конформаций полинуклеотидов типа А и В.

ЛИТЕРАТУРА

1. Семенов М.А., Больбух Т.В. Резонансные взаимодействия карбонильных колебаний в спиральных полипептидах // ДАН УССР. Сер. «Б». – 1982. – № 12. – С.66-69.
2. Semenov M.A., Bolbuch T.V. Carbonyl vibration resonance interactions helical polynucleotides Poly(dA)-Poly(dT) and PolyG-PolyC // Studia biophysica. – 1984. – Vol. 102, № 3. – P. 215-220.
3. Semenov M.A., Bolbuch T.V., Starikov E.B. Infrared spectroscopic study of the hydration of polyadenylic acid potassium salt films // Studia biophysica. – 1985. – Vol. 106, № 3. – P. 181-192.
4. Семенов М.А., Больбух Т.В., Малеев В.Я. Исследование гидратации двуспирального комплекса поли А·поли У методами ИК-спектроскопии и пьезогравиметрии // Биофизика. – 1985. – Т. 30. – С. 571-577.
5. Семенов М.А., Стариков Е.Б., Больбух Т.В., Малеев В.Я. Гидратация односпиральной поли Ц по данным ИК-спектроскопии и пьезогравиметрии // Биофизика. – 1989. – Т.34. – №3. – С. 389-395.
6. Семенов М.А. Гидратация и структурное состояние нуклеиновых кислот в конденсированном состоянии: Дис. док. физ.-мат. наук. – М.: МГУ, 1990. – 410 с.
7. Семенов М.А., Малеев В.Я., Березняк Е.Г., Гасан А.И., Больбух Т.В. Гидратация и стабильность комплекса поли (rG)-поли (rC) // Мол.биология. – 1991. – Т.25. – №6. – С. 1626-1634.
8. Давыдов А. С. Теория поглощения света в молекулярных кристаллах. – Киев: изд-во АН УССР. – 1951. – 296 с.
9. Малеев В.Я. Исследование структурных переходов биополимеров в растворе. Дис. док. физ.-мат. наук. – Х.: ФТИНТ, 1975. – 278 с.
10. Семенов М.А., Больбух Т.В. Резонансные взаимодействия карбонильных колебаний в спиральных полипептидах: Препр. /АН УССР; ИРЭ; 190. – Х.: 1982. – 28 с.
11. Семенов М.А., Матвеев Д.А., Больбух Т.В. Малеев В.Я. Гидратация и стабильность двуспирального комплекса poly(dA)-poly(dT) // Биофизика. – 1994. – Т. 39. – С. 628-636.
12. Arnott S, Hukins D.W., Dover S.D., Fuller W., Hodgson A.R. Structures of synthetic polynucleotides in the A-RNA and A'-RNA conformations: x-ray diffraction analyses of the molecular conformations of polyadenylic acid-polyuridylic acid and polyinosinic acid-polycytidyllic acid // J Mol Biol. – 1973. – Vol. 81, №2. – P. 107-122.
13. Arnott S. The geometry of nucleic acids. // In J.A.V. Butler, D. Noble editors, Progress in Biophysics and Molecular Biology. – Oxford: Pergamon Press, 1970. – Vol. 21. – P. 265-319.
14. Arnott S., Chandrasekaran R., Hall I.H., Puigjaner L.C. Heteronomous DNA // Nucleic Acids Res. – 1983. – Vol. 11, № 12. – P. 4141-4155.
15. Alexeev D.G., Lipanov A.A., Skuratovskii I.Ya. Poly(dA).poly(dT) is a B-type double helix with a distinctively narrow minor groove // Nature. – 1987. – Vol. 325, № 6107. – P. 821-3.
16. Park H.S., Arnott S., Chandrasekaran R., Millane R.P., Campagnari F. Structure of the alpha-form of poly[d(A)].poly[d(T)] and related polynucleotide duplexes // J Mol Biol. – 1987. – Vol. 197, № 3. – P. 513-523.
17. Lipanov A.A., Chuprina V.P., Alexeev D.G., Skuratovskii I.Ya. Bh-DNA: variations of the poly[d(A)].poly[d(T)] structures within the framework of the fibre diffraction studies // J Biomol Struct Dyn. – 1990. – Vol 4. – P. 811-826.

18. Tsuboi M., Takahashi S., Harada I. Infrared and Raman spectra of nucleic acids-vibrations in the base residues // In J. Duchesne, editor. Physico-Chemical Properties of Nucleic Acids. – New York: Academic press, 1973. – Vol. 2. – P. 91-145.
19. Brandes R., Vold R.R., Kearns D.R., Ryprecht A. Static disorder and librational motions of purine bases in films of oriented Li-DNA // J. Mol. Biol. – 1988. – Vol. 202. – P. 321-332.
20. Чиргадзе Ю.Н. Невская Н.А. Резонансные взаимодействия основных амидных колебаний в упорядоченных пептидных структурах // Докл. АН СССР. – 1973. – Т. 208, № 2. – С. 447-450.
21. Мележик Е.П., Семенов М.А. Резонансные взаимодействия карбонильных колебаний в коллагеновых структурах // Вісник ХНУ № 606. – Біофізичний вісник. – 2003. – Вип. 13. – С.62-68.
22. Гиршфельдер Д., Кеттис Ч., Берд Р. Молекулярная теория газов и жидкостей: Пер. с англ. – М.: Иностр. лит., 1961. – С. 652-655.
23. Miyazawa T. Perturbation treatment of the characteristic vibrations of polypeptide chains in various configurations // J.Chem.Phys. – 1960. – Vol. 32. – №6. – P. 1647-1652.
24. Березняк Е.Г., Семенов М.А. Спектральные параметры нуклеотидов и полинуклеотидов в D₂O: Препр. /АН УССР; ИРЭ; 379. – Х.: 1989. – 16 с.
25. D'Albis A., Wickens M.P., Gratzer W.B. Base pairing of adenine and uracil derivatives in the presence of water // Biopolymers. – 1975. – Vol. 7. – P. 1423-1435.